

Opracowanie wielokanałowego układu scalonego w technologii
CMOS do rejestracji aktywności neuronalnej oraz jego aplikacja w
funkcjonalnych badaniach mózgu

mgr inż. Beata TRZPIL-JURGIELEWICZ

promotorzy:

prof. dr hab. inż. Władysław DĄBROWSKI

dr inż. Paweł HOTTOWY

Plan prezentacji

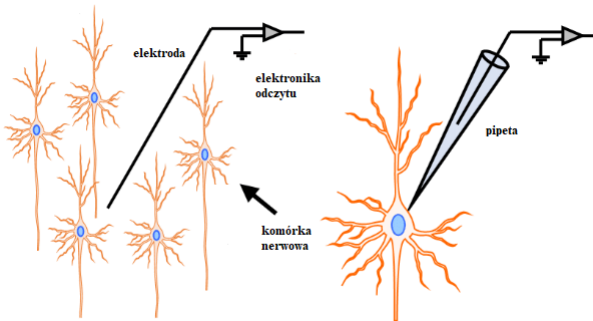
Część I

Tematyka pracy

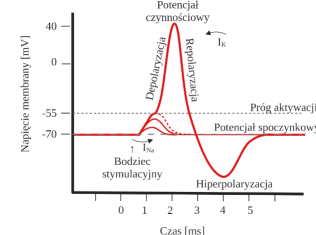
Wstęp

Techniki pomiarowe wewnętrz i zewnętrzkomórkowe w neurobiologii

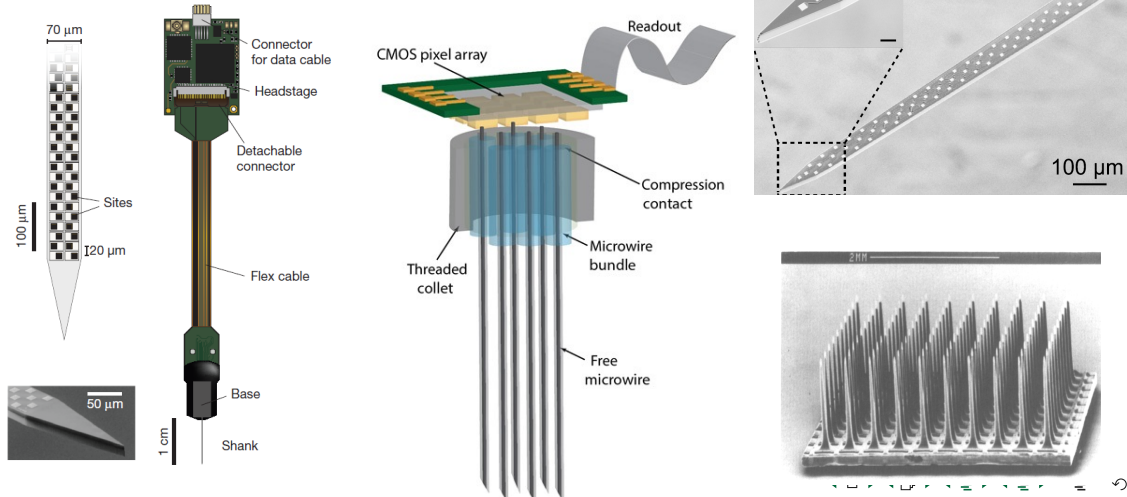
- różne amplitudy sygnałów
 - inwazyjność badań
 - obszar badań



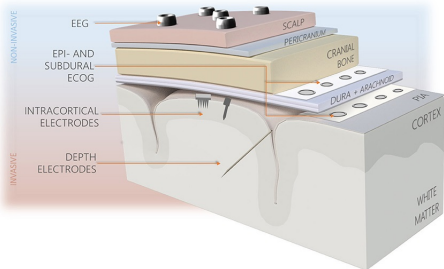
Potencjał czynnościowy



Kierunki rozwoju współczesnych systemów pomiarowych i matryc mikroelektrodowych

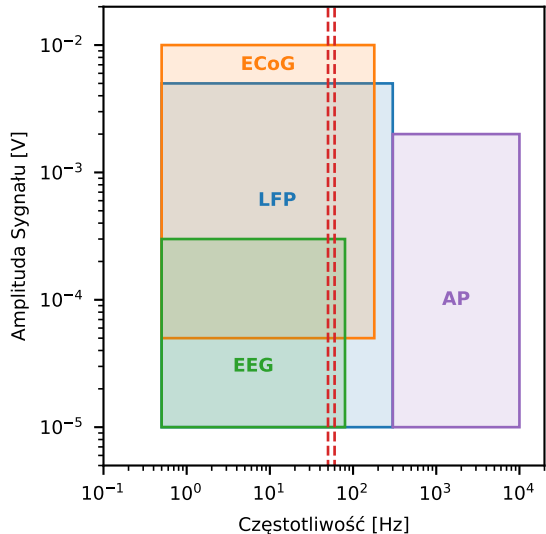


Zakresy amplitud i częstotliwości sygnałów neuronowych

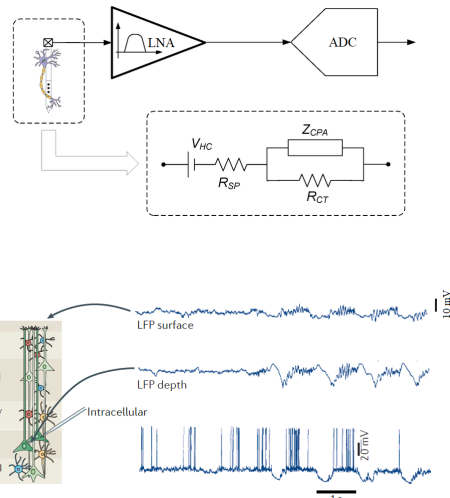


Metody rejestracji

- LFP – Local Field Potential
- AP – Action Potential
- ECoG – Electrocorticography
- EEG – Electroencephalography



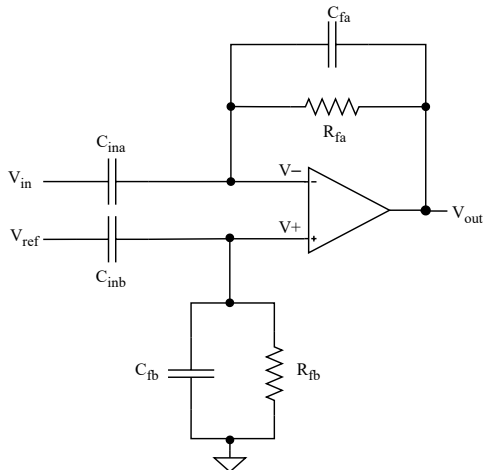
Kanał rejestracji neuronowej z wykorzystaniem elektrod zewnętrzkomórkowych



Wymagania stawiane interfejsom neuroelektronicznym umożliwiającym rejestrację sygnałów LFP i AP

- Offset stały na styku elektrody – do 1 V do 2 V
- Szумy $< 5 \mu\text{V}$ dla pasma LFP i AP
- Liniowość rejestrowanego sygnału
- Pobór mocy – limit ogrzewania tkanki mózgowej – mniej niż 1 °C
- Zróżnicowane sygnały: amplituda do 10 mV_{pp} dla LFP i od 50 μV dla AP
- Skalowalność systemu – tysiące kanałów dla przyszłych systemów

Sprzężenie zmiennoprądowe



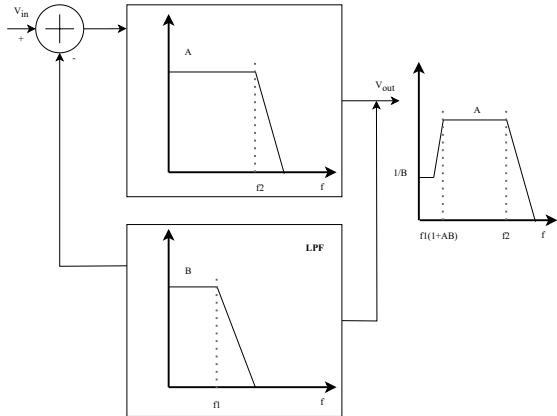
Wyzwania związane z sprzężeniem AC

- Niska dolna częstotliwość graniczna rzędu $\sim 1 \text{ Hz}$
- Pojemności w technologii CMOS są rzędu $f\text{F} \cdot \mu\text{m}^{-2}$
- Rezystancja sprzężenia zwrotnego w zakresie $T\Omega$

Zalety

- Usunięcie składowej stałej od elektrody niezależnie od jej wartości
- Wydajność szumowa i poboru mocy

Sprzężenie stałoprądowe

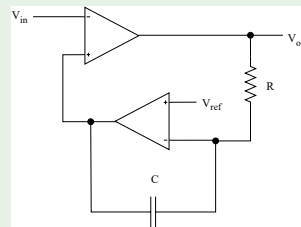


Wyzwania związane z sprzężeniem DC

- Duża wrażliwość na offset
- Pobór mocy

Zalety

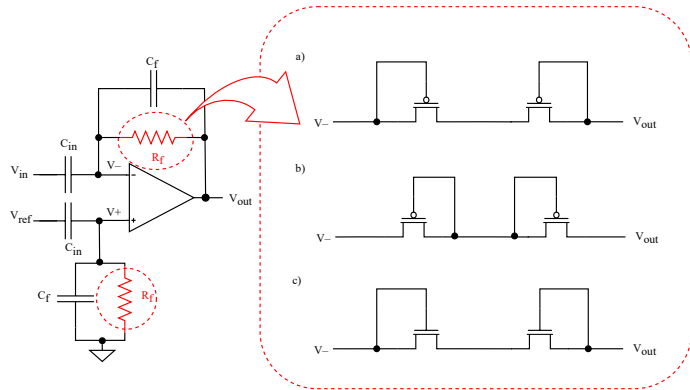
- Brak konieczności używania dużych rezystancji w pętli sprzężenia zwrotnego



Część II

Liniowy pseudo-rezystor

Podstawowe rozwiązania pseudo-rezystorów

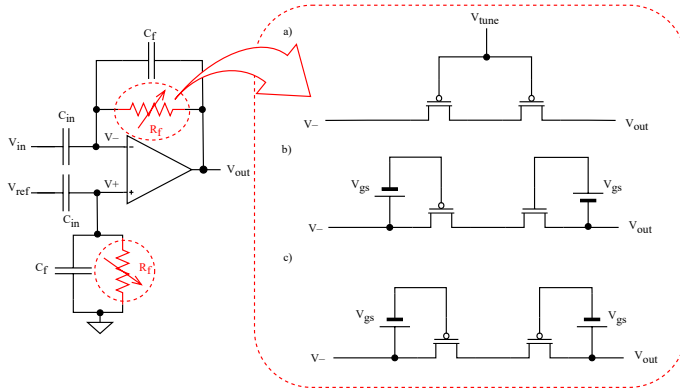


Wady

- stała rezystancja
- brak możliwości regulacji częstotliwości granicznej

Podstawowe rozwiązania pseudo-rezystorów - regulowana wartość rezystancji

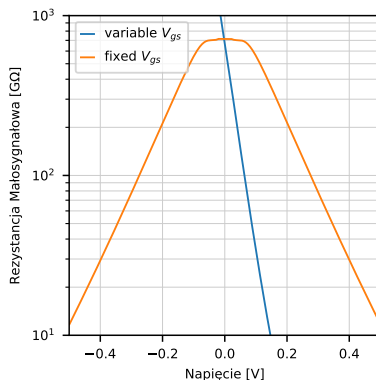
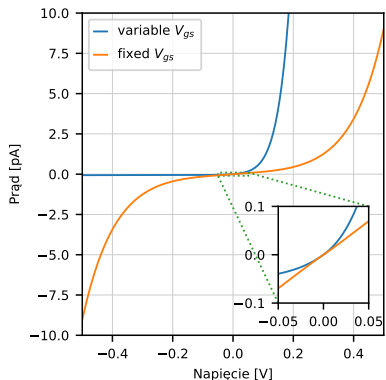
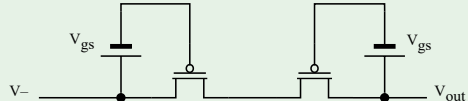
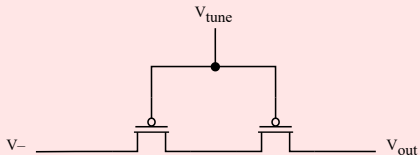
Regulacja częstotliwości granicznej



Zmieniające się napięcie panujące pomiędzy bramką a źródłem tranzystora w zależności od sygnału wejściowego

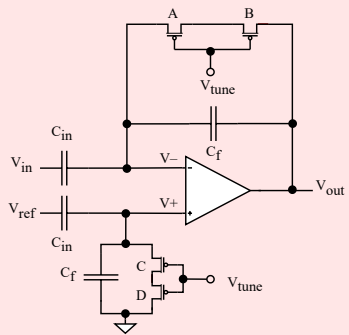
Zachowanie stałego napięcia pomiędzy bramką, a źródłem niezależnie od sygnału wejściowego

Analiza stałoprądowa

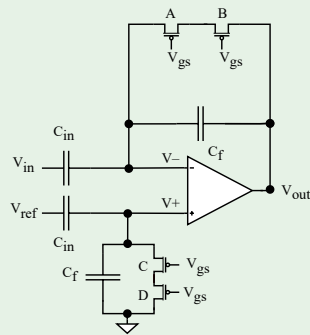


Architektura wzmacniacza neuronowego wykorzystującego sprzęt zmiennoprądowe w różnych implementacjach pseudo-rezystorów

Zmienne napięcia na bramce –
variable – V_{gs}



Słałe napięcia na bramce –
fixed – V_{gs}

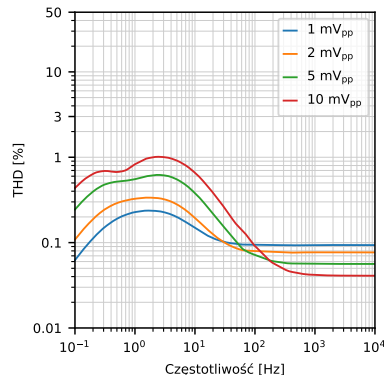
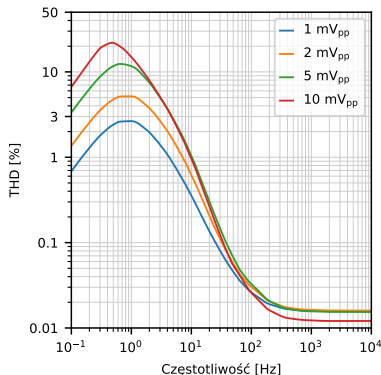


Analiza Transient sprzeżenia AC

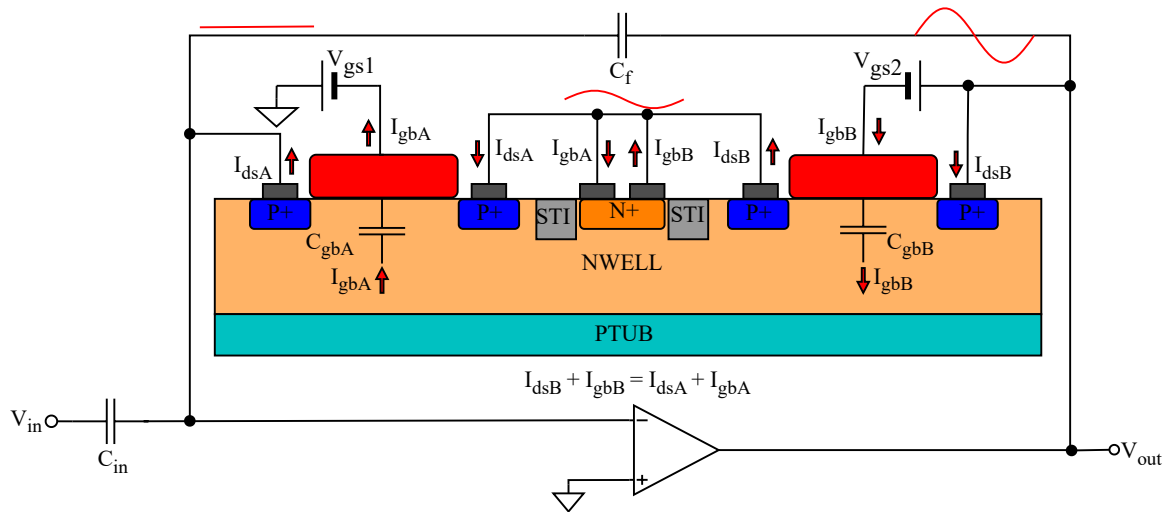
Ustawienia symulacji

- Częstotliwość graniczna dla sprzeżenia AC $\sim 1 \text{ Hz}$

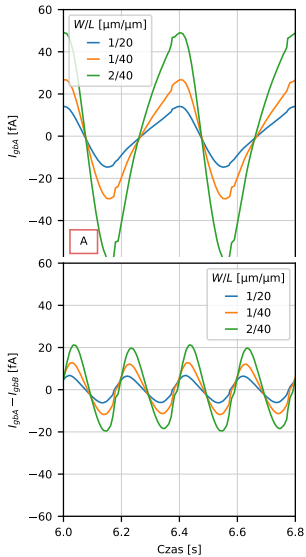
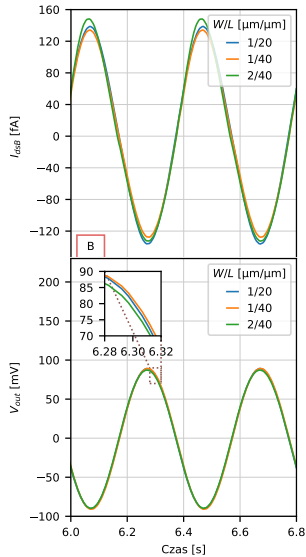
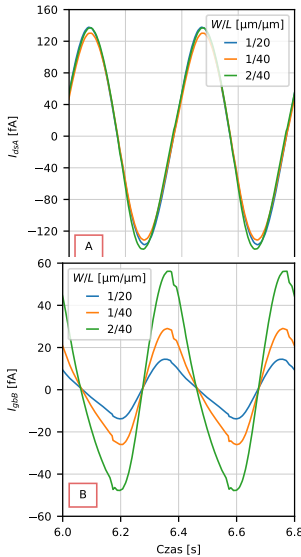
$$\text{THD} = \frac{\sqrt{\sum_{n=2}^{+\infty} U_k^2}}{U_1}$$



Projekt przedwzmacniacza z modelem pseudo-rezystora w technologii 180 nm XFAB

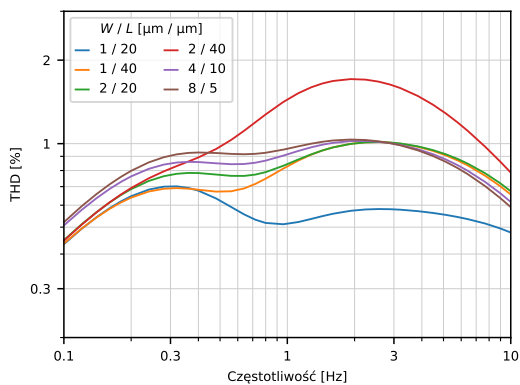


Wpływ pojemnościowych prądów bramki pseudo-rezystorów na zniekształcenia w technologii 180 nm

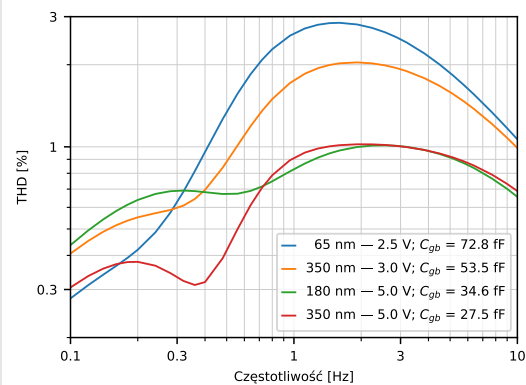


Skalowanie zniekształceń z powierzchnią bramki i grubością tlenku tranzystorów tworzących pseudo-rezystory

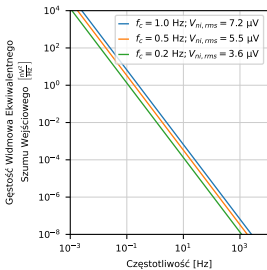
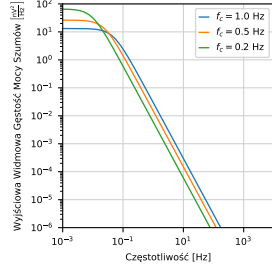
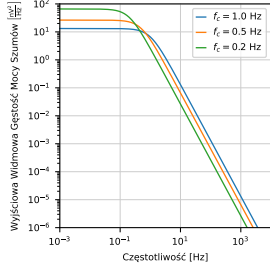
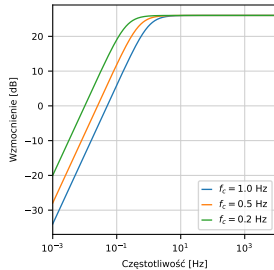
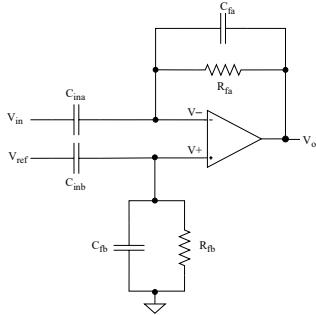
Powierzchnia bramki – technologia 180 nm



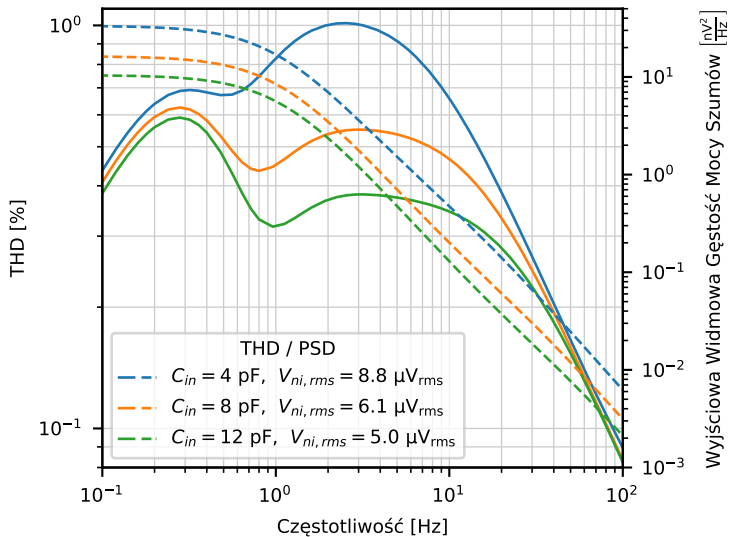
Zależność od technologii



Szumy



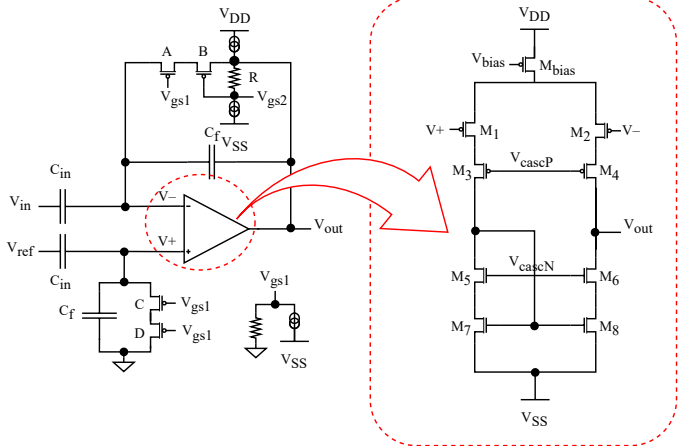
Wpływ pojemności wejściowych na szумy i zniekształcenia



Część III

Operacyjny wzmacniacz transkonduktancyjny

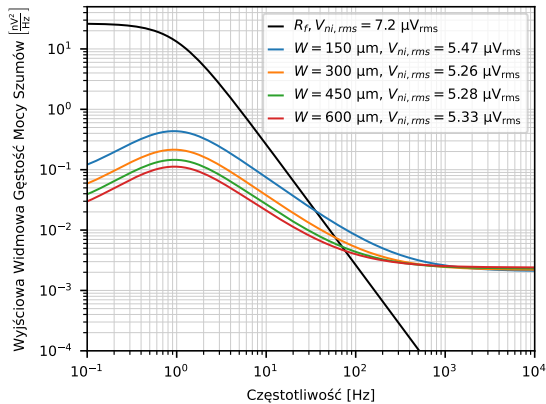
Implementacja teleskopowej kaskody ze zintegrowanym sprzężeniem AC

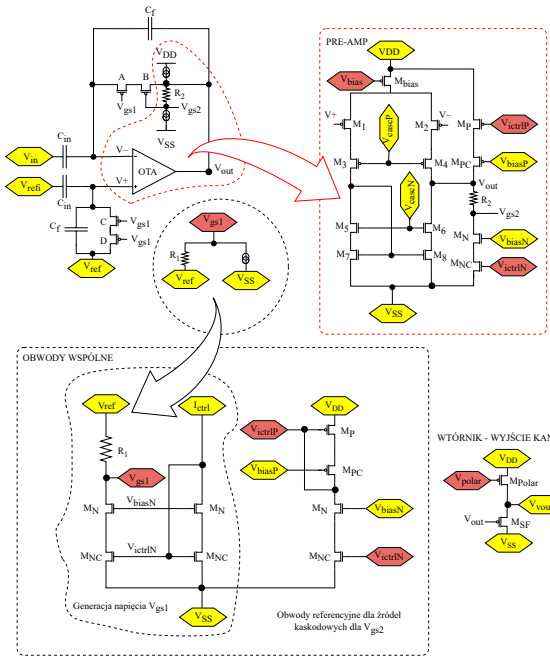


Kluczowe wymagania

- optymalizacja szumowa
- powierzchnia
- pobór mocy

Analiza szumowa pary różnicowej



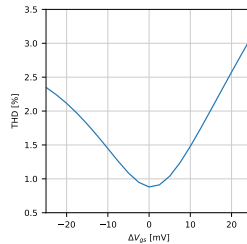
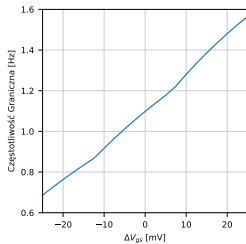
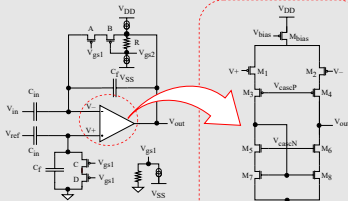


Przedwzmacniacz z
wejściowym obwodem
sprzęgającym AC oraz obwody
polaryzujące

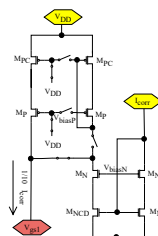
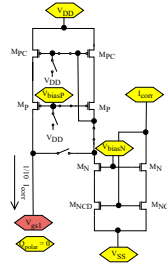
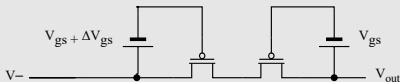
Kluczowe tranzystory	<i>W</i> [μm]	<i>L</i> [μm]
<i>M_{bias}</i>	10	10
<i>M₁, M₂</i>	300	1
<i>M₃, M₄</i>	20	2
<i>M₅, M₆</i>	5	5
<i>M₇, M₈</i>	4	48

Blok korekcji

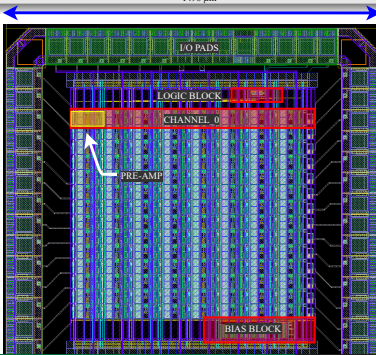
Projekt kanału



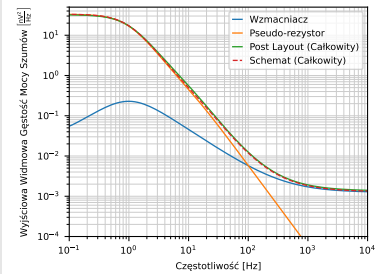
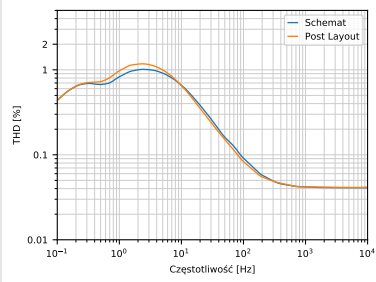
Wyzwania do rozwiązania



- 8 wersji przedwzmacniacza
- 14 kanałów pomiarowych
- cztery wersje rozmiarów tranzystorów PMOS tworzących pseudo-rezystory – odpowiednio W/L :
2/40, 1/40, 2/20, 1/20 $\mu\text{m}/\mu\text{m}$
- 2 konfiguracje pojemności –
 $C_{in}/C_f = 4/200 \text{ pF/fF}$



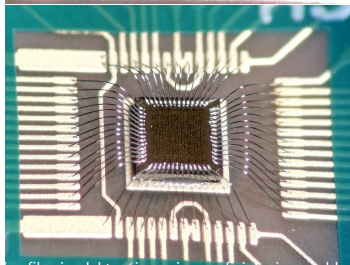
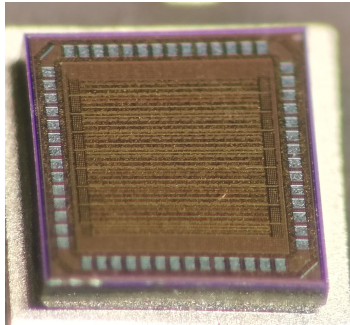
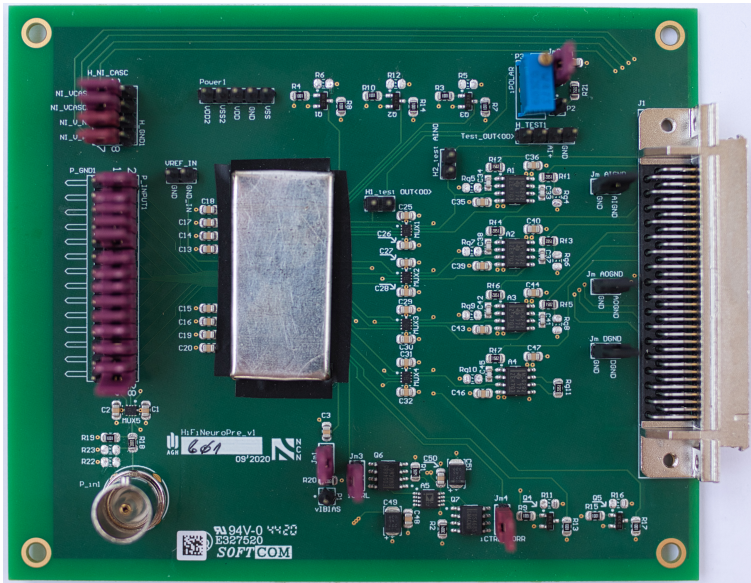
Symulacje Post-Layout



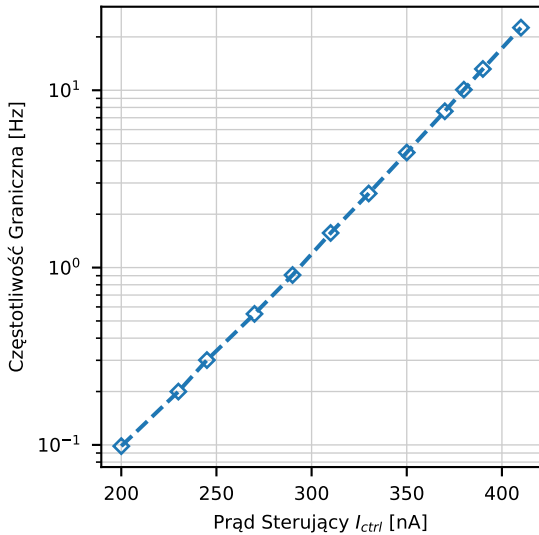
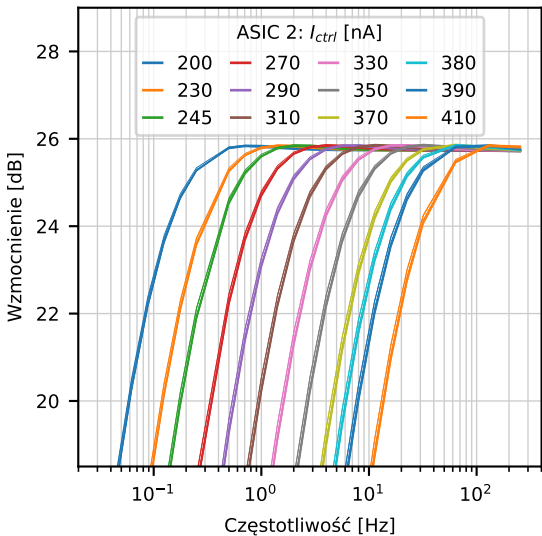
Część IV

Weryfikacja elektroniczna i neurofizjologiczna układu scalonego HiFiNeuroPre

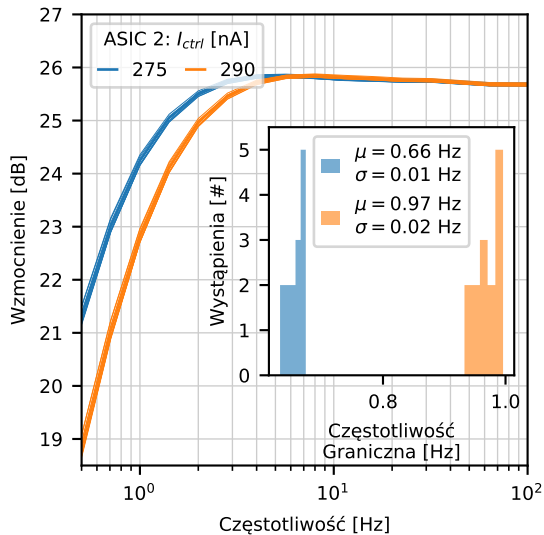
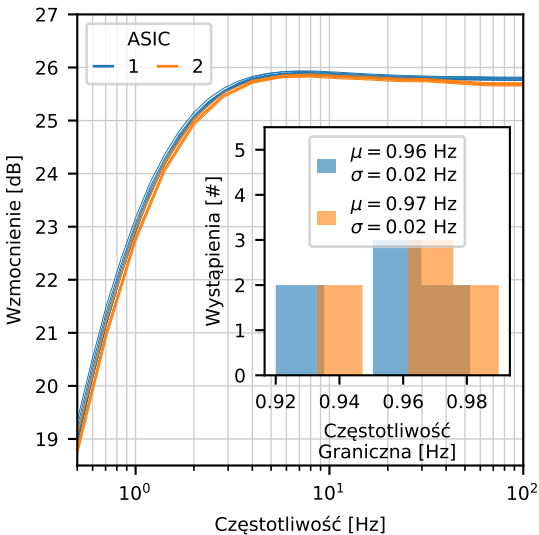
System testowy



Wzmocnienie, częstotliwość graniczna

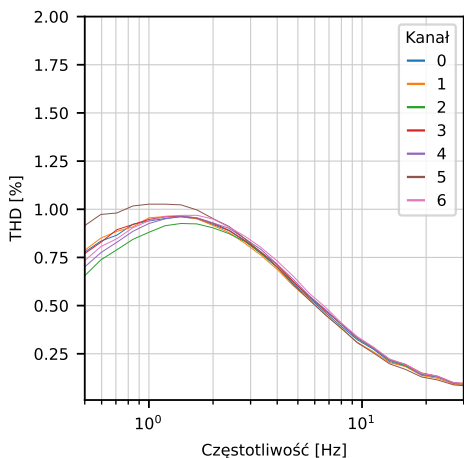


Jednorodność kanałów

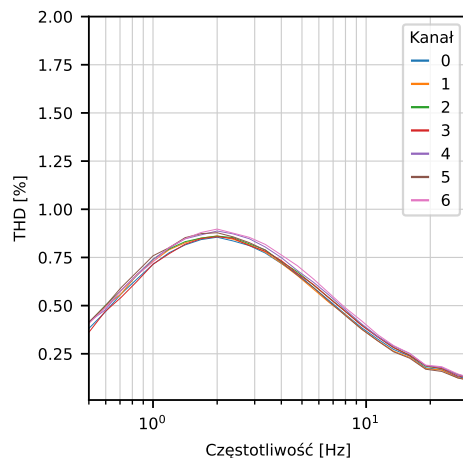


Pomiary zniekształceń harmonicznych – wpływ korekty

Brak globalnej korekty

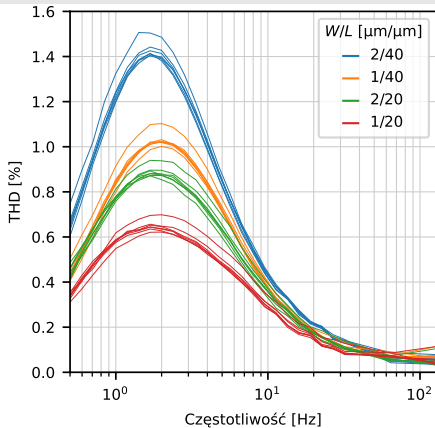


Korekta globalna

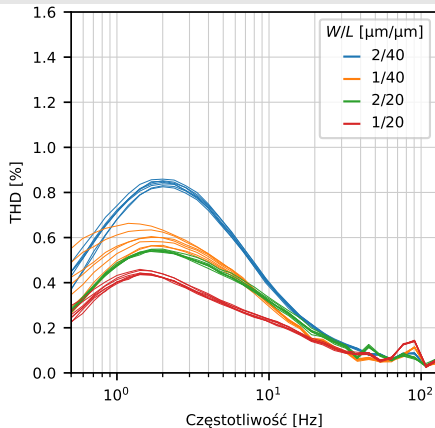


Konfiguracje przedwzmacniacza

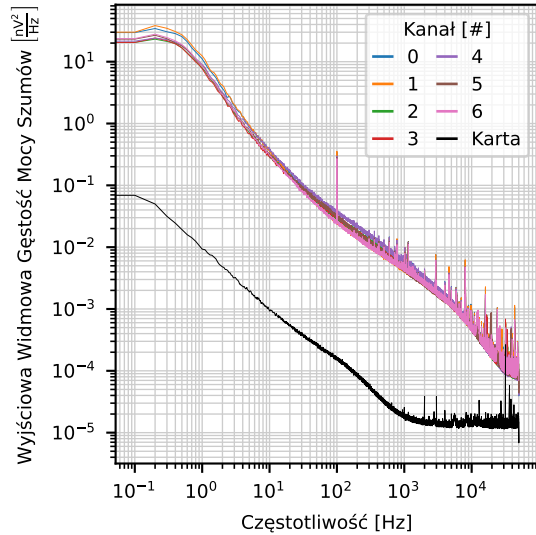
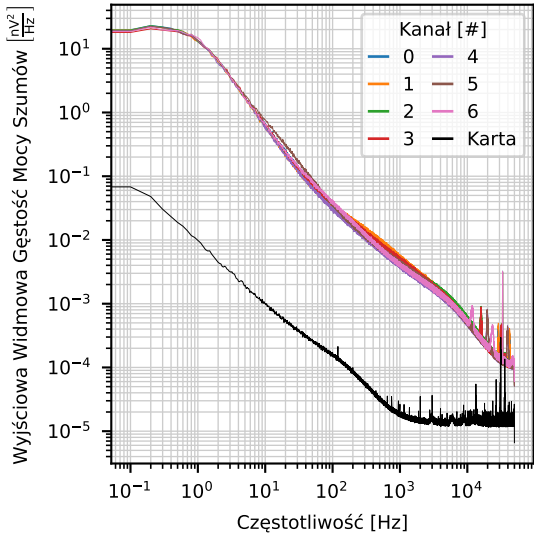
Symetryczna konfiguracja



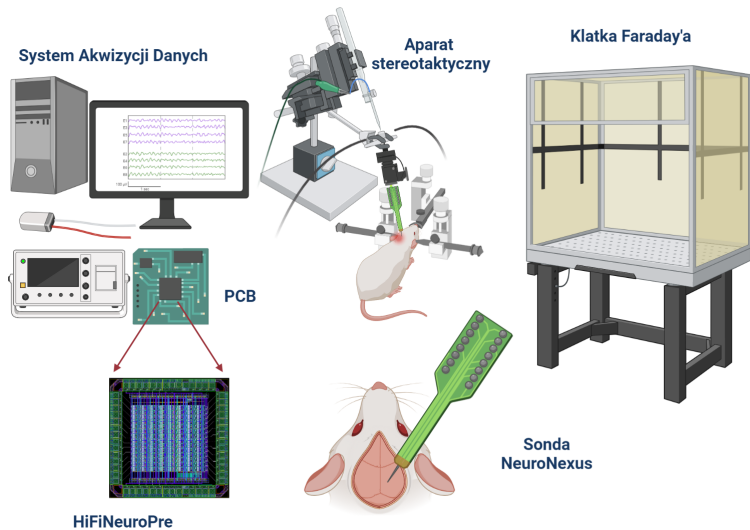
Drugi wariant przedwzmacniacza z większymi pojemnościami wejściowymi

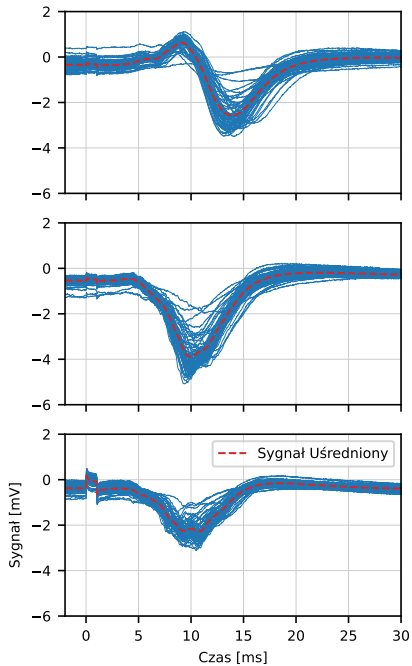


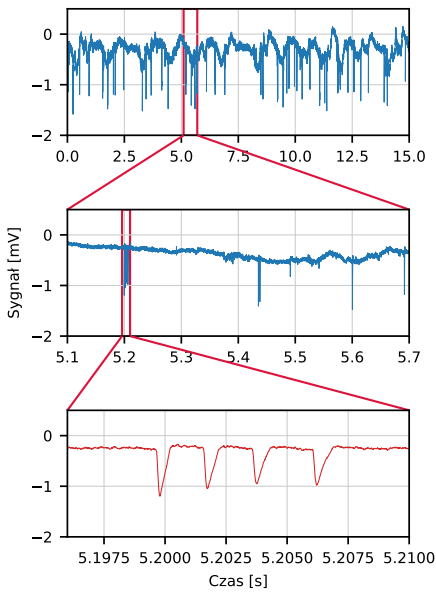
Pomiary szumów



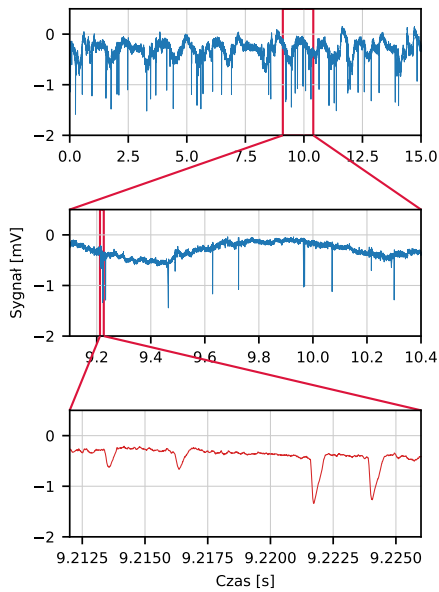
System pomiarowy do akwizycji sygnałów neurobiologicznych







(a)



(b)

Część V

Podsumowanie

Podsumowanie testów elektronicznych

Tabela 1: Parametry przedwzmacniacza na podstawie pomiarów weryfikacyjnych

Parametr	Wartość
Napięcia zasilania	$\pm 1,8 \text{ V}$
Całkowity prąd	$2 \mu\text{A}$
Pobór mocy dla pojedynczego kanału	$7,2 \mu\text{W}$
Wzmocnienie z zamkniętą pętlą sprzężenia	25,9 dB
Zakres dolnej częstotliwości granicznej	0,1 Hz do 20 Hz
Ekwiwalentny szum wejściowy w zakresie LFP	$7,5 \mu\text{V}_{\text{rms}}$
Ekwiwalentny szum wejściowy w zakresie AP	$6,7 \mu\text{V}_{\text{rms}}$
Zniekształcenia harmonioyczne THD – $10 \text{ mV}_{\text{pp}}$ 1,68 Hz	0,94 %
Pole powierzchni pojedynczego przedwzmacniacza	$0,0071 \text{ mm}^2$

Podsumowanie

- analiza nieliniowości wejściowego obwodu sprzęgającego, który jest odpowiedzialny za ustawienie dolnej częstotliwości granicznej;
- największe zniekształcenia występują dla częstotliwości sygnałów w okolicy dolnej częstotliwości granicznej;
- zaproponowano i zaimplementowano w opracowanym układzie scalonym nowe rozwiązanie dla pseudo-rezystorów stosowanych w obwodzie sprzęgającym;
- opracowany testowy układ scalony zawiera 14 kanałów, każdy kanał został opracowany w ośmiu wersjach umożliwiających weryfikację różnych wariantów projektowych;
- zostały wykonane kompletne testy elektroniczne;
- przeprowadzono eksperiment neurobiologiczny.

Opracowanie wielokanałowego układu scalonego w technologii
CMOS do rejestracji aktywności neuronalnej oraz jego aplikacja w
funkcjonalnych badaniach mózgu

mgr inż. Beata TRZPIL-JURGIELEWICZ

promotorzy:

prof. dr hab. inż. Władysław DĄBROWSKI

dr inż. Paweł HOTTOWY

Część VI

Odpowiedzi

dr hab. Andrzej Pfitzner, prof. PW

[...] Autorka nie sformułowała tezy rozprawy, co wynika ze specyfiki pracy, natomiast celem praktycznym było opracowanie takiego rozwiązania konstrukcyjnego przedwzmacniacza, aby umożliwić skuteczną realizację zintegrowanego narzędzia do badań mózgu przez zespół Katedry Oddziaływań i Detekcji Cząstek AGH.

[...] W tekście pracy jest relatywnie dużo literówek, występują też drobne błędy gramatyczne, co świadczy prawdopodobnie o nadmiernie pospieszonym finalizowaniu rozprawy. Innych niedociągnięć jest niewiele, np.: na rysunkach 3.13 i 3.14 na osi odciętych skala częstotliwości obejmuje zakres od 0.1 Hz do 100 Hz, podczas gdy w podpisie podano pasmo 1 Hz – 10 kHz. Ponadto tabela 4.3 jest wadliwie zbudowana i bez dodatkowego opisu nieczytelna.

[...] Zwykle jednak wymagania projektowe formułowane są explicite w formie granicznych wartości istotnych parametrów, lecz takich na dla pracy nie określono. W tej sytuacji pierwszorzędnego znaczenia nabiera porównanie wartości osiągniętych parametrów zaprojektowanego wzmacniacza z danymi dostępnymi z literatury. Brak zestawienia porównawczego w formie tabeli budzi pewien niedosyt. Wprawdzie standardowo w odniesieniu do zniekształceń harmonicznych wartość THD podawana jest zwykle dla częstotliwości 1 kHz, a nie w szerszym zakresie, to jednak takie zestawienie byłoby zasadne uwzględniając zarówno ogólne stwierdzenia jak i wartości innych parametrów.

dr hab. inż. Dariusz Komorowski, prof. PŚ

[...] W przypadku przedstawionej pracy Autorka precyzyjnie przedstawiła główny cel pracy oraz wyszczególniła kolejny etapy pracy prowadzące do realizacji celu głównego. Niestety w pracy nie zauważylem wyszczególnionych tez pracy. **Jakie są zatem cele pracy? Czy tezy pracy zostały udowodnione?**

dr hab. inż. Dariusz Komorowski, prof. PŚ

[...] Omówiono również inne koncepcje eliminacji składowej stałej: technikę wzmacniaczy z modulacją [...] oraz zastosowanie wzmacniacza o małym lub jednostkowym wzmacnieniu i przetwornika analogowo-cyfrowego o dużej rozdzielczości. Z uwagi na rosnącą popularność tego ostatniego rozwiązania w przypadku akwizycji sygnałów biologicznych i biomedycznych uważam, że ta część rozdziału powinna być bardziej szczegółowa.

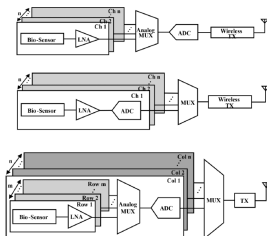
dr hab. inż. Dariusz Komorowski, prof. PŚ

[...] *Struktura rozprawy jest logiczna, jednak w pracy występuje pewna (moim zdaniem stanowczo zbyt liczna) liczba uchybień edycyjnych (tekstowych, językowych), np. forma gramatyczna, powtórzenia, brak przedimków lub słów itp.*

dr hab. inż. Dariusz Komorowski, prof. PŚ

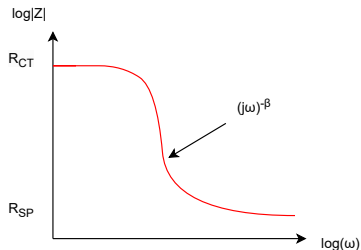
[...] W pracy występuje dość obszerna część medyczno-biologiczna służąca w zasadzie do uzasadnienia podziału sygnałów na dwie grupy LFP i AP o odpowiednich charakterystykach (pasmo i zakres amplitud). Materiał ciekawy i ważny z punktu widzenia pracy, ale być może mógłby być krótszy.

[...] Niektóre używane w pracy określenia moim zdaniem są nietypowe, głównie dotyczy to określenia "**układ odczytu**" zamiast wzmacniacz. [...] Podobnie użycie słowa "**zaadresowany**". Wyrażenie "**mniejsze multipleksery**" (str. 34) jest mało precyzyjne, a właściwie w użytym kontekście nieprawidłowe. Również definicja wyrażenia "**front-end**" (str. 35) budzi moje wątpliwości. Użycie wyrażenia "**może zostać drastycznie zmniejszona**" wydaje mi się również niezbyt fortunne. Autorka rozprawy dosyć często używa wyrażenia **offset wyjściowy**, moim zdaniem jednak poprawnie powinno się użytkować wyrażenia **offset napięcia wyjściowego**.

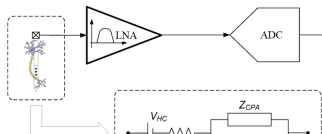


Schematy rodzajów architektur systemów wielokanałowych do rejestracji biosygnałów elektrycznych. W pierwszym rozwiązaniu jedno ADC używane jest do wszystkich kanałów, w kolejnym rozwiązaniu każdy kanał rejestrujący posiada własne ADC, ostatnie rozwiązanie stanowi połączenie obu koncepcji zakładające jedno ADC dla jednej kolumny LNA

[...] **Impedancja mikroelektrody jest ważnym parametrem dla rejestracji zewnątrzkomórkowej, ponieważ określa szумy elektrody oraz tłumienie sygnału.** – w jaki sposób impedanca określa te parametry?



Zależność impedancji elektrody Z od częstotliwości sygnału



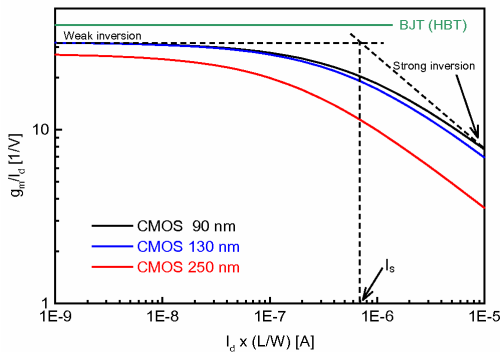
[...] Wzmacniacz LNA występuje w każdym kanale, skąd następnie sygnał jest przesyłany poprzez MUX z podziałem czasu. Wadą tego rozwiązania jest to, że gdy liczba kanałów wzrasta, częstotliwość próbkowania ADC również wzrasta, co powoduje większy pobór mocy. - Częstotliwość próbkowania powinna być zależna od właściwości próbkowanego (rejestrowanego) sygnału, a nie zależeć od architektury systemu.

W przypadku systemów z multipleksem o podziale czasowym (TDM), częstotliwość próbkowania musi być zazwyczaj wyższa niż minimalna częstotliwość Nyquista wynikająca z charakterystyki pojedynczego kanału. Jest to spowodowane faktem, że każdy kanał jest próbkowany w sekwencji, co wprowadza dodatkowe wymagania dotyczące częstotliwości próbkowania.

Oto dlaczego częstotliwość próbkowania musi być wyższa niż minimalna częstotliwość Nyquista:

Częstotliwość Nyquista dla pojedynczego kanału: Minimalna częstotliwość próbkowania wynika z zasady Nyquista i jest określona przez maksymalną częstotliwość sygnału w pojedynczym kanale. Jeśli ta częstotliwość jest na poziomie, na przykład, 10 kHz, to minimalna częstotliwość próbkowania wynosiłaby 20 kHz zgodnie z zasadą Nyquista.

[...] Niektóre fragmenty tekstu są dla mnie niezrozumiałe lub budzą pewne wątpliwości [...] Z punktu widzenia minimalizacji poboru mocy najkorzystniejsza jest polaryzacja tranzystorów w zakresie słabej inwersji, ponieważ w tym zakresie transkonduktancji do prądu polaryzacji tranzystora jest największy [48].

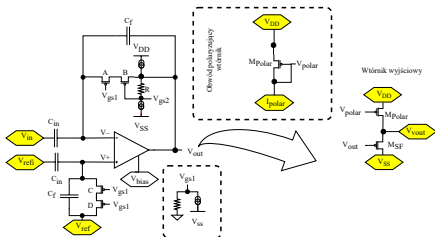


Stosunek transkonduktancji do prądu drenu w funkcji znormalizowanego prąd drenu dla trzech technologii

dr hab. inż. Dariusz Komorowski, prof. PŚ

[...] Niektóre fragmenty tekstu są dla mnie niezrozumiałe lub budzą pewne wątpliwości [...] ale przy stałym stosunku $C_{in}/C_f = 20V/V$

[...] Niektóre fragmenty tekstu są dla mnie niezrozumiałe lub budzą pewne wątpliwości [...] Jak wspomniano wcześniej, w docelowym rozwiązaniu przewiduje się zastosowanie drugiego stopnia wzmacniającego. Przy założeniu, że kolejny stopień będzie miał wysoką impedancję wyjściową, może on być sterowany bezpośrednio z kaskody o wysokiej impedancji wyjściowej. Dla celów testowych potrzebujemy jednak stopnia wyjściowego o relatywnie niskiej impedancji wyjściowej, który skutkowałby zwiększeniem poboru mocy układu prototypowego.

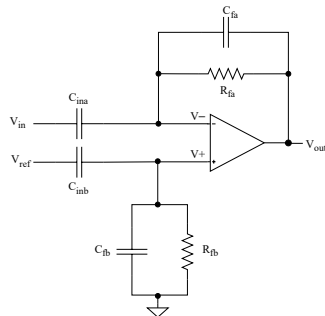


By móc utrzymać wysokie wzmacnianie różnicowe prądu stałego oferowane przez przedwzmacniacz niezależnie od dalszych elementów toru odczytowego powinien on zapewniać niską rezystancję wyjściową ze względu na możliwość obciążenia parametrów przedwzmacniacza. Aby układ przedwzmacniacza miał niską rezystancję wyjściową należało dodać stopień buforujący do wyjścia OTA.

dr hab. inż. Dariusz Komorowski, prof. PŚ

[...] Wzór 2.2 na str. 88 – brak liczby 4 w mianowniku pod pierwiastkiem, nie wszystkie składowe wzoru są wyjaśnione i opisane.

[...] W pracy przyjęto wzmacnienie dla pierwszego stopnia projektowanego wzmacniacza na poziomie $K = 20V/V$. Czy w kontekście możliwości pojawienia się składowej stałej napięcia na wejściu wzmacniacza spowodowanego zjawiskami zachodzącymi na styku tkanka-elektroda wartość ta nie jest zbyt duża i czy nie będzie powodowała nasycenia stopnia wejściowego wzmacniacza?



dr hab. inż. Dariusz Komorowski, prof. PŚ

[...] W pracy skupiono się na analizie własności i projektowaniu rezystora półprzewodnikowego, nieco mniej zajmując się samym wzmacniaczem – który jest najważniejszym elementem pracy. W szczególności dotyczy to parametru CMRR wzmacniacza. Podobnie niewiele uwagi poświęconu napięciu offsetu wzmacniacza, chociaż jego obecność jest widoczna we wszystkich zarejestrowanych przebiegach. Tu przydatne byłoby jakieś oszacowanie. Konsekwencją takiego podejścia jest dość zwięzły opis samej struktury wzmacniacza i jego własności tu przydałaby się nieco bardziej obszerna analiza.

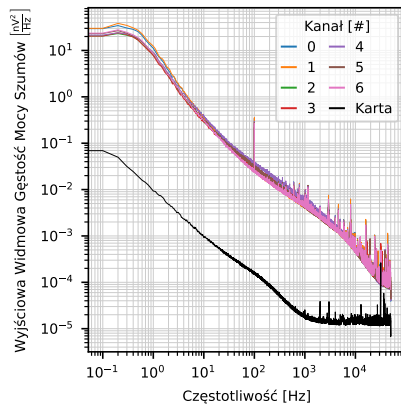
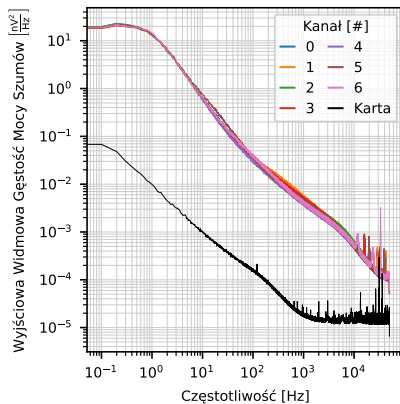
dr hab. inż. Dariusz Komorowski, prof. PŚ

[...] Wybór współczynnika THD do oceny parametrów wzmacniacza jest poprawny, ale w mojej opinii w pracy trochę za mało uwagi poświęcono innym, dość istotnym parametrom wzmacniacza mających wpływ na jakość rejestrowanych sygnałów np. takich jak liniowość fazy, odpowiedź na skok jednostkowy czy szybkość narastania (SR – ang. slew rate).

dr hab. inż. Dariusz Komorowski, prof. PŚ

[...] Teza o dużym znaczeniu współczynnika THD dla niskoczęstotliwościowych składowych sygnałów nie jest poparta odpowiednimi przykładami uzasadniającymi to znaczenie. Jednak wymagałoby to dokładniejszej analizy własności rejestrowanych sygnałów neuronalnych, co jednak wykracza poza zakres pracy.

[...] Zastanawiający jest brak w analizach widmowych zarejestrowanych sygnałów, składowych sieci i ich harmonicznych. Być może zostały użyte filtry typu **notch**, ale nie wspomniano o tym w pracy.



dr hab. inż. Teodor Buchner

[...] Nie jest zachowany klasyczny układ publikacji naukowej, natomiast zaproponowany układ jest logiczny i przejrzysty.

Co to znaczy klasyczny układ publikacji naukowej? Nature IEEE

dr hab. inż. Teodor Buchner

[...] Protokół badania nie jest dokładnie opisany, ale zakłada badanie odpowiedzi wywołanej na mechaniczne drażnienie wibrys u szczura, z jednoczesną rejestracją aktywności LFP w obszarze od kory mózgowej (Cx) do wnętrza mózgu (Th).

dr hab. inż. Teodor Buchner

[...] Język rozprawy jest bardzo dobry, odnotowano jedynie niewielkie przypadki łączenia imiesłowa przysłówkowego ze stroną bierną.

dr hab. inż. Teodor Buchner

[...] natomiast rysunki stanowiące autorytaty z prac, których współautorką jest Autorką nie są oznaczone jako takie.

dr hab. inż. Teodor Buchner

[...] Użycie bibliografii jest nieco utrudnione przez brak sortowania alfabetycznego.

dr hab. inż. Teodor Buchner

[...] Cytowanie na ogólnie jest poprawne, jedynie cztery źródła to źródła internetowe, dla których jedynym adresem publikacyjnym jest strona www. Podane są one [...] bez daty dostępu, co jest błędem, jednak ich charakter nie wskazuje na ulotność ponieważ są to w większości strony firmowe, zawierające charakterystyki produktów.

dr hab. inż. Teodor Buchner

[...] Kod źródłowy skryptów wypracowanych w ramach pracy nie jest częścią rozprawy ani nie jest dostępny w publicznym repozytorium, choć publikacja kodu pomogłaby w ocenie kompetencji Autorki.

dr hab. inż. Teodor Buchner

[...] Metodykę procesu badawczego należy podzielić na dwa etapy [...]. Pierwszy z tych etapów nie budzi zasadniczych wątpliwości. Jedyny zidentyfikowany brak dotyczy wspomnianych na str. 68 wolnozmiennych oscylacji, które nie zostały uwzględnione w scenariuszach testowych, a jak wspomniano wcześniej w tekście, mają istotne znacznie dla działalności wzmacniacza.

[...] Pewne wątpliwości budzi natomiast metodyka procesu weryfikacji w eksperymencie neurofizjologicznym. W przypadku pomiarów o charakterze unikatowym nie ma możliwości porównania wyniku z urządzeniami referencyjnymi. Wydaje się jednak, że ten przypadek tu nie zachodzi. Bardziej właściwe wydaje się porównanie omawianego urządzenia pomiarowego z urządzeniem referencyjnym w sposób, który wykaże prawidłowość realizowanych za jego pomocą pomiarów. Istnieją również wspierające ten proces metody statystyczne, takie jak metoda Blanda-Altmana.

[...] W przypadku niniejszej pracy zastosowano jakościową metodę weryfikacji, którą jest zgodność otrzymanych z użyciem urządzenia wyników z oczekiwaniami eksperymentatora. Oczekiwania te zbudowane są na podstawie dostępnej wiedzy, a ta zawiera oczywiście wyniki pomiarów, które można uznać za referencyjne. Jednak nie ulega wątpliwości, że tego typu analiza jest dużo słabsza z perspektywy matematycznej niż analiza porównawcza dwóch urządzeń korzystających z tego samego źródła sygnału.

dr hab. inż. Teodor Buchner

[...] W tekście cytowanych jest kilka rodzin modeli symulacyjnych tranzystora MOS, należy się domyślać, że w dalszym ciągu użyty został model EKV.

dr hab. inż. Teodor Buchner

[...] Uwaga co do modelowania, wynikająca z rozważań na str. 60 jest taka, że konsekwencją zależności C_{gb} od V_{gb} jest obecność wyrazu kwadratowego w zależności $I_{gb}(U_{gb})$ – warto rozważyć cząstkową publikację tego wyniku.

dr hab. inż. Teodor Buchner

[...] wykres przedstawiony na rys. 2.4 przedstawia filtr górnoprzepustowy a nie dolnoprzepustowy (wysoka impedancja występuje w paśmie niskich częstotliwości, a impedancja w paśmie wysokich częstotliwości jest niska).

dr hab. inż. Teodor Buchner

[...] Warto również odnotować niekonsekwentny charakter opisu procesów fizykochemicznych zachodzących po stronie tkanki, które czasem opisywane są jako procesy jonowe, czasem jako procesy elektrochemiczne, a czasem odnoszone są do pojęcia warstwy podwójnej i efektów pojemnościowych. Co do zasady użyte modele matematyczne nie budzą wątpliwości, choć model matematyczny tkanki jest zdawkowy [...]

dr hab. inż. Teodor Buchner

[...] w analizie stanu sztuki Autorka pomija dorobek jej macierzystego zespołu, chociaż go cytuję [...]. W związku z tym recenzent skazany jest na domysły. Należy przyjąć, że istotną nowością omawianej pracy jest użycie pseudorezistorów, ponieważ ta technika nie pojawia się w tytułach wymienionych [...] powyżej pozycji dorobku.

[...] Autorka opisuje proces inżynierski z perspektywy *ex post*. W związku z tym zdarza się, że relacjonując wykonane badanie czy analizę nie umieszcza na końcu rozdziału wniosków z tego badania. Pojawiają się one niejako mimo chodem jako uzasadnienie decyzji projektowej, której podjęcie jest ralaconowane w rozdziale następnym. Taka sytuacja występuje na granicy rozdziałów 3.2.1 i 3.2.2, kiedy zostaje w zasadzie podjęta decyzja o eliminacji z dalszych rozważań konfiguracji V_{gs} , do czego przesłanki dostarcza rozdział 3.2.1. Co do rozdziału 3.2.1 to skądinąd nie jest od początku jasne w jakim celu są prowadzone opisywane w nim rozważania. Staje się to jasne w rozdziale 3.2.2, kiedy okazuje się, że celem tego rozdziału było rozważenie przesłanek za wyborem jednej z dwóch konfiguracji.

[...] Zdarza się również, że Autorka uznaje, że wniosek w sposób oczywisty wynika z przedstawionych wykresów, co nie jest oczywiste w interdyscyplinarnym środowisku odbiorców. Taka sytuacja występuje na granicy rozdziałów 3.3 oraz 3.4. Wniosek z rysunku 3.12, który kończy analizę z rozdziału 3.3 jest podsumowany w pierwszym akapicie rozdziału 3.4. Takich sytuacji jest więcej, ale nie spotkałem się z oczywistą luką i brakiem informacji, a co najwyżej z jej nieodpowiednią lokalizacją.

[...] Kilkukrotnie Autorka traktuje uzyskane wyniki jako oczywiste i nie tłumaczy która z cech wykresu dowodzi wyciąganego wniosku. W kilku przypadkach cechą tą jest różnica nachyleń między dwoma połówkami wykresy – sytuacja ta dotyczy rys 3.11 oraz 5.18.

dr hab. inż. Teodor Buchner

[...] Z całkowitych drobiazgów należy zwrócić uwagę na tabelę 3.1, w której zmienna R_f powinna stanowić kolejną kolumnę tabeli.

[...] Co do mankamentów merytorycznych, występujących w dysertacji, jest ich kilka. Pierwszy z nich [...] dotyczy faktu, że model źródła, tkanki i sprzężenia jest niejednoznaczny i nie do końca odpowiada rzeczywistości pomiarowej. Niezależnie od widma samego źródła, skumulowane efekty pojemności i lokalnego przewodzenia w tkance, nakładają na źródł swoą charakterystykę, która faworyzuje niskie częstotliwości [8]. Efekty jonowe są składową tego zjawiska [9] ale nie mają dominującego charakteru [10].

[...] Potencjał stały jest przede wszystki efektem brzegowym, związanym z tworzeniem warstwy podwójnej, które z kolei wynika z różnicy potencjałów chemicznych między kontaktującymi się fazami [10]. Oczywiście rozdzielenie ładunku objętościowego również zachodzi [9], ale jest to efekt fizyczny a nie fizykochemiczny. Przemiany elektrochemiczne mogą zachodzić dopiero gdy przekroczona jest określona energia aktywacji [10]. W odniesieniu do elektrod stymulujących piszą o tym Merrill i wsp. – pozycja [113] literatury – te rozważania można rozszerzyć na elektrody pomiarowe [8-10].

[...] Fluktuacje termincze dotyczą nie tylko rezystancji ale również pojemności – taki proces jak tworzenie warstwy podwójnej również jest poddany fluktuacjom. W związku z tym nie ma potrzeby odwoływania się do rezystancyjnej natury tkanki, po to, żeby uzasadnić użycie twierdzenia Nyquista. Należy to raczej uznać za brak modelu. Również rezystywny charakter tkanki nerwowej można poddać w wątpliwość – cytowany przez Autorkę Destexhe ma w swoim dorobku pracę [7] poświęconą temu zagadnieniu.

[...] Czynnikiem, który w sposób zasadniczy wpływa na model błędu i model sprzężenia tkanki z elektrodą jest lokalizacja elektrody referencyjnej. Nie ulega wątpliwości, że sonda MEA jest czymś zupełnie innym niż elektroda referencyjna, więc pomiar jest asymetryczny. Nie zmienia to jednak faktu, że nadal jest to pomiar bipolarny. Niektóre konstrukcje, takie jak opisywany przez Autorkę Neuropixel, są bipolarne i symetryczne (por rys. 2.8, także rys. 2.13) inne nie są (rys. 2.12, 3.7!). Zdecydowanie brakuje odniesienia do tej fundamentalnej różnicy. Im dalej umieszczona jest elektroda referencyjna tym większy wpływ na sygnał ma interferencja 50 Hz, oraz wszystkie źródła endogenne, w szczególności silny sygnał kardiogenny. Przy odległej lokalizacji elektrody odniesienia trudno jest interpretować otrzymane przebiegi jako neurogenne.

dr hab. inż. Teodor Buchner

[...] Odwrócenie amplitudy obserwowane na elektrodzie 0 wygląda w pierwszym przybliżeniu na wynik zmiany fazy wynikający ze sprzężenia pojemnościowego – trudno byłoby zinterpretować odwrócenie amplitudy wprost jako odwrócenie kierunku prądu – jest to jeden z najciekawszych wyników dotyczących samych narzędzi, sugerujący konieczność dalszego rozwoju techniki modelowania.

dr hab. inż. Teodor Buchner

[...] Odnośnie podnoszonego przez Autorkę faktu zniknięcia podwójnego maksimum widma THD, warto zauważyć, że rozwiązywanie takie występowało już jako jeden z wariantów widma w analizie Monte-Carlo (rys 4.9) oraz wykazywało silną zależność od pojemności C_{gb} (rys 3.10), co mogło być przyczyną obserwowanych różnic między widmem zmierzonym a wynikami symulacji.

Kluczowe wymagania

- optymalizacja szumowa
- powierzchnia
- pobór mocy